

التنبؤ بقيم السلسل الزمنية بأسعمال أنموذج (ARMAX) مع تطبيق عملي

أ.م.د. فراس احمد محمد / كلية الادارة والاقتصاد / جامعة بغداد
الباحث / مصطفى علي فخري

المستخلص :

لقد اولى الباحثون اهتماماً كبيراً بدراسة نماذج الصندوق الاسود (black box models) وقد ركز هذا البحث في دراسة احد نماذج الصندوق الاسود وهو انموذج ARMAX الذي يعد من النماذج المهمة الذي يمكن الحصول من خلاله على عدد من الحالات الخاصة وهي نماذج (AR , MA , ARMA , ARX) والذي يدمج بين اسلوب السلسل الزمنية التي تعتمد على البيانات التاريخية واسلوب الانحدار بمتغيرات توضيحية فضلاً عن ذلك الاخطاء السابقة ، وقد ظهرت اهمية انموذج ARMAX في الكثير من المجالات التطبيقية ذات تماس مباشر بحياتنا اليومية ، وتناقض عملية بناء انموذج ARMAX من عدة مراحل تقليدية وهي التشخيص اذ تم تشخيص رتبة الانموذج باستخدام عدد من المعايير وهي معيار خطأ التنبؤ النهائي (FPE) ومعيار معلومات أكافي (AIC) والتقدير باستخدام طريقة المربعات الصغرى التكرارية باستخدام عامل التغاضي (F) وطريقة الانحدار الخطي الزائف التكرارية (RPLR) والتي جاءت في المرتبة الاولى وطريقة (RLS - F) جاءت في المرتبة الثانية وتأتي اخيراً عملية التنبؤ ب(30) قيمة لدرجة الحرارة العظمى اليومية اعتماداً على سرعة الرياح اليومية .

المصطلحات الرئيسية للبحث / المعايير - تقدير المعلمات - التنبؤ .





1- المقدمة - Introductio

يعد موضوع تحليل السلاسل الزمنية من المواضيع الإحصائية المهمة التي تتناول سلوك الظواهر، وتفسرها عبر حقب محددة. ويمكن إجمال أهداف تحليل السلاسل الزمنية بالحصول على وصف دقيق للملامح الخاصة للعملية التي تتولد منها السلاسل الزمنية، وبناء أنموذج لتفسير سلوك السلسلة الزمنية واستخدام النتائج للتنبؤ بسلوك السلسلة في المستقبل، فضلاً عن التحكم في العملية التي تتولد منها السلسلة الزمنية بفحص ما يمكن حدوثه عند تغيير بعض معلمات الانموذج ، ولتحقيق ذلك يتطلب الأمر دراسة تحليلية وافية لنماذج السلاسل الزمنية بالاعتماد على الأساليب الإحصائية والرياضية .

ومن خلال دراسة السلاسل الزمنية حيث نجد ان هناك اهتماماً متزايداً في استعمال احد نماذج الصنوف الاسود حيث تم استخدام انموذج (ARMAX) والذي يتكون من (Autoregressive) و المتوسطات المتحركة (Moving Average) مع المتغيرات التوضيحية وهناك خطوات متسلسلة لبناء هذا الانموذج يكون من تشخيص رتبة الانموذج وباستخدام معيارين (AIC – FPE) وبعد تحديد افضل رتبة للانموذج يتم تقدير معلمات الانموذج باستخدام طريقة المربعات الصغرى التكرارية باستخدام نهج عامل التغاضي (RPLR) وطريقة خط الانحدار الخطى الزائف التكرارية (RPLR) والطريقة المقترنة وتم استخدام عدة طرق لمقارنة بين طرائق التقدير وهي (MAE - MAPE - RMSE) وبعد تحديد افضل طريقة للتقدير يتم عملية التنبؤ لعدة خطوات الى الامام.

2- هدف البحث : Purpose of search :

للوصول الى دقة اعلى في عملية التنبؤ من خلال استخدام أحد نماذج الصندوق الاسود black box (ARMAX) والمعروف بـأتموذج (ARMAX) والذي يأخذ بنظر العناية المتغير الخارجي والاخفاء السابقة (models) كسلسلة زمنية ، اذ يتم بناء انموذج (ARMAX) عن طريق تحديد افضل رتبة لهذه البيانات وتحديد افضل طريقة لتقدير معالم الانموذج عن طريق المقارنة بين طرائق التقدير باستخدام مقاييس (RMSE) و (MAE) و (MAPE) ومن ثم استخدام افضل طريقة في عملية التنبؤ بدرجات الحرارة العظمى لـ(30) يوماً قادماً .

3- الجانب النظري :

١ - ٣ - نموذج الانحدار الذاتي والمتواضطات المتحركة مع مدخلات خارجية: (ARMAX MODEL)

Autoregressive Moving Average with Exogenous input model
 العيب الأساسي مع الانموذج البسيط هو عدم وجود الحرية الكافية في وصف خصائص مصطلح الضوضاء ويمكن أن نضيف إلى ذلك المرونة من خلال وصف خطأ المعادلة كمتغيرات المتحركة من التشویش الایض ومقارنة مع انموذج ARX الذي يتمثل بعدم وجود خصائص لمصطلح الخطأ لذلك مع النظر في مصطلح الخطأ تم تطوير نموذج ARMAX حيث ان النموذج قابل للتطبيق في مجالات الرقابة وعمليات الاقتصاد القياسي لكل من نظام النبذة وتصميم مخطط السيطرة حيث ان الانموذج تعطي بالصيغة الآتية :

$$y(t) + a_1y(t-1) + \dots + a_{n_a}y(t-n_a) = b_1u(t-n_k) + \dots + b_{n_b}u(t - n_k - n_b + 1) + c_1e(t-1) + \dots + c_{n_c}e(t-n_c) + e_t \quad (1)$$

حيث يمكن اعادة كتابته بالصيغة الآتية

... (2)

$$A(q) y(t) = B(q) u(t - n_k) + C(q) e(t) \quad \dots (2)$$

حيث ان متعددات الحدود تعطى بالصيغة الآتية

$$\begin{aligned} A(q) &= 1 + a_1 q^{-1} + a_2 q^{-2} + \dots + a_{na} q^{-na} \\ B(q) &= 1 + b_1 q^{-1} + b_2 q^{-2} + \dots + b_{nb} q^{-nb} + 1 \\ C(q) &= 1 + c_1 q^{-1} + c_2 q^{-2} + \dots + c_{nc} q^{-nc} \end{aligned}$$



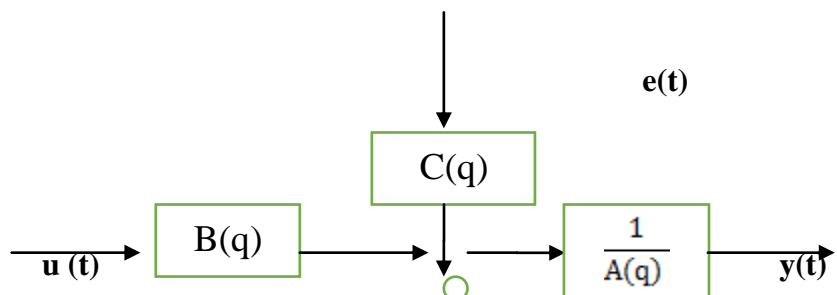
حيث ان

$$y(t) = G(q) u(t) + H(q) e(t) \quad \dots (3)$$

$$\begin{aligned} G(q) &= \frac{B(q)}{A(q)} & H(q) &= \frac{C(q)}{A(q)} \\ y(t) &= \frac{B(q)}{A(q)} u(t) + \frac{C(q)}{A(q)} e(t) \end{aligned} \quad \dots (4)$$

ومعلومات الانموذج

$\bar{v} = [a_1 \quad a_2 \dots a_{na} \quad b_1 \quad b_2 \dots b_{nb} \quad c_1 \quad c_2 \dots c_{nc}]^T$
و (q) تمثل الازاحة الى الخلف . (backshift operator)



شكل رقم (١) / يوضح هيكلية انموذج ARMAX

٢ - ٣ حزمة المعايير لاختيار أفضل رتبة نموذج : Band Criteria to Choose Best Model :

١- معيار خطأ التنبؤ النهائي لاكاكي [١٢][٩][٨] : Akaike's Final Prediction Error Criteria :

عرف من قبل العالم (Davisson) عام ١٩٦٥ و العالم (Akaike) عام ١٩٦٩ وهو من المعايير التي تستخدم في تحديد رتبة الانموذج، ويرمز له (FPE) إذ ان اصغر قيمة من هذا معيارا يعطي افضل رتبة وتعطى بالصيغة الآتية:

$$FPE = \frac{[1 + \frac{F}{n}]}{[1 - \frac{F}{n}]} * v_n \quad \dots (5)$$

حيث تمثل (v_n) دالة الخسارة وتعطى بالصيغة الآتية :

$$V_n = \frac{1}{n} \sum_{t=1}^n e^2(t) \quad \dots (6)$$

$$e(t) = y(t) - \hat{y}(t)$$

$$FPE = \frac{[1 + \frac{F}{n}]}{[1 - \frac{F}{n}]} * \frac{1}{n} \sum_{i=1}^n e^2(i) \quad \dots (7)$$

FPE : تعبّر عن خطأ التنبؤ النهائي .
F : تعبّر عن عدد المعلمات في النموذج .

٢ - معيار اكاكي للمعلومات [١٠][٩][٨] : Akaike's Information Criteria :

حيث تم التوصل الى هذا المعيار من قبل العالم Akaike عام (١٩٦٩) ويرمز له AIC ويتم تحديد الرتبة المناسبة للانموذج التي تقابل اصغر قيمة لمعيار AIC ويكتب وفق الصيغة الآتية :

$$\begin{aligned} AIC &: \ln(V_n) + \frac{2F}{n} \\ AIC &: \ln\left(\frac{1}{n} \sum_{i=1}^n e^2(i)\right) + \frac{2F}{n} \end{aligned} \quad \dots (8)$$



v_n : تمثل دالة الخسارة

F : تعبر عن عدد المعلمات في النموذج .

3 - 3 تدبر معلمات الانموذج Model Parameter Estimation

1- طريقة المربعات الصغرى التكرارية [1][2][11][4] recursive least square (RLS) : وهي من الطرق المستخدمة لتقدير انموذج ARMAX حيث أنها تمثل صيغة التعاقب لطريقة المربعات الصغرى وهذا يعني إذا كان هناك تقدير للمعلمة $\hat{\theta}(t-1)$ عند الفترة الزمنية $(t-1)$ عنها يمكن حساب (t) عن طريق ادخال بعض التعديلات البسيطة على $\hat{\theta}(t-1)$.

وتكون خطوات تكوين خوارزمية المربعات الصغرى التكرارية بالشكل الآتي من تعريف تقدير المعلمة $(\hat{\theta})$.

$$\hat{\theta} = [\sum_{i=1}^t \varphi(i)\varphi^T(i)]^{-1} [\sum_{i=1}^t \varphi(i)y(i)] \quad \dots (9)$$

على فرض ان مصفوفة التغير $P(t)$ تعرف بالصيغة الآتية:

$$P(t) = [\sum_{i=1}^t \varphi(i)\varphi^T(i)]^{-1} \quad \text{فإن معكوس مصفوفة التغير يصبح}$$

$$\begin{aligned} P^{-1}(t) &= \sum_{i=1}^t \varphi(i)\varphi^T(i) \quad \dots (10) \\ &= \sum_{i=1}^{t-1} \varphi(i)\varphi^T(i) + \varphi(t)\varphi^T(t) \\ &= P^{-1}(t-1) + \varphi(t)\varphi^T(t) \end{aligned}$$

ومنها فان تقدير متوجه المعلمات $(\hat{\theta})$ يصبح :

$$\hat{\theta}(t) = P(t)[\sum_{i=1}^t \varphi(i)y(i)] \quad \dots (11)$$

$$= P(t)[\sum_{i=1}^{t-1} \varphi(i)y(i) + \varphi(t)y(t)] \quad \dots (12)$$

وعلى فرض لدينا نموذج الانحدار الآتى :

$$y(t) = \hat{\theta}(t) + e(t) \quad \text{ومقدار المعلمة } \hat{\theta} \text{ يعرف بالصيغة الآتية :}$$

$$\begin{aligned} \hat{\theta}(t) &= \frac{1}{t} \sum_{i=1}^t y(i) \\ &= \frac{1}{t} [\sum_{i=1}^{t-1} y(i) + y(t)] \\ &= \frac{1}{t} [(t-1)\hat{\theta}(t-1) + y(t)] \quad \dots (13) \end{aligned}$$

وبالرجوع الى تقدير المعلمة $(\hat{\theta})$ في المعادلة (11) وبالتشبيه بالمعادلة (13) فان :

$$= P(t)[P^{-1}(t-1)\hat{\theta}(t-1) + \varphi(t)y(t)] \quad \dots (14)$$

حيث ان معكوس مصفوفة التغير بحسب معادلة (10) فان :

$$P^{-1}(t-1) = P^{-1}(t) - \varphi(t)\varphi^T(t)$$

وعليه يصبح تقدير متوجه المعلمة $\hat{\theta}$ كالاتي

$$\hat{\theta}(t) = P(t)[(P^{-1}(t) - \varphi(t)\varphi^T(t))\hat{\theta}(t-1) + \varphi(t)y(t)] \quad \dots (15)$$

وبالتبسيط نحصل على ما يأتي

$$\hat{\theta}(t) = \hat{\theta}(t-1) + P(t)\varphi(t)[y(t) - \varphi^T(t)\hat{\theta}(t-1)] \quad \dots (16)$$

ويمكن وضع المعادلة (16) بالصيغة الآتية

$$\hat{\theta}(t) = \hat{\theta}(t-1) + K(t)e(t) \quad \dots (17)$$



اذا ان
 $K(t)$ = هو حد الكسب ويمثل بالصيغة الآتية

$$K(t) = P(t) \varphi(t) \quad \dots \quad (18)$$

اما خطأ التنبؤ الذي يمثل الفرق بين القيم المشاهدة والقيم التقديرية فيمثل بالمعدلة الآتية :

$$e(t) = y(t) - \varphi^T(t) \hat{\theta}(t-1) \quad \dots \quad (19)$$

حيث ان متوجه $K(t)$ يفسر على انه عوامل موازنة او بعامل الربحية ويوضح مقدار قيمة (t) التي يجب ان تعدل الفرق بين عناصر متوجه المعلمات ، اما مصفوفة التغاير (t) فتفسر التغاير في متوجه المعلمات . وباستخدام معكوس المصفوفة [Ijung, 1999] والمتمثل بالعلاقة الآتية :

$$[A+BCD]^{-1} = A^{-1} - A^{-1}B[C^{-1} + DA^{-1}B]^{-1}DA^{-1} \quad \dots \quad (20)$$

حيث ان A, B و $C^{-1} + DA^{-1}B$ هي مصفوفات مربعة غير مفردة ، ويتطبق معكوس المصفوفة على $P(t)$ وباستخدام المعادلة رقم (10) حيث $P^{-1}(t)=A^{-1}$ ، $\varphi^{-1}(t)=B$ ، $I=C$ ، $\varphi^{-1}(t)=D$ التي يمكن اعادة كتابتها بالشكل الآتي :

$$P(t) = P(t-1) - P(t-1) \varphi(t)[I + \varphi^T(t) P(t-1) \varphi(t)]^{-1} \varphi^T(t) P(t-1) \quad \dots \quad (21)$$

وبتعويض قيمة $P(t)$ في $k(t)$ نحصل على

$$K(t) = P(t) \varphi(t) \quad \dots \quad (22)$$

$$= P(t-1) \varphi(t)[I + \varphi^T(t) P(t-1) \varphi(t)]^{-1}$$

مما سبق فان الشكل النهائي لطريقة المربعات الصغرى التكرارية يمثل بالصيغ الآتية:

$$\hat{\theta}(t) = \hat{\theta}(t-1) + K(t) e(t)$$

$$e(t) = y(t) - \varphi^T(t) \hat{\theta}(t-1)$$

$$K(t) = P(t) \varphi(t)$$

$$= P(t-1) \varphi(t)[I + \varphi^T(t) P(t-1) \varphi(t)]^{-1}$$

$$P(t) = P(t-1) - P(t-1) \varphi(t)[I + \varphi^T(t) P(t-1) \varphi(t)]^{-1} \varphi^T(t) P(t-1)$$

حيث ان خوارزمية المربعات الصغرى التكرارية تحتاج الى قيم اولية (initial values) لكل من متوجه

المعلمات $\hat{\theta}(0) = 0$ و $I = r$ حيث ان r تمثل عدداً صحيحاً موجباً .

حيث تجري تعديلات على خوارزمية المربعات الصغرى التكرارية تتمثل بنهاية عامل التغاضي لتعديل هذه الخوارزمية .

النهج الثاني :- عامل التغاضي Forgetting Factor

النهج المتبع في هذه الحالة يتلخص في تغيير دالة الخسارة بإضافة (λ) والذي يعرف بعامل التغاضي والذي يمكن من خلاله تقليل دالة الخسارة الى اقل ما يمكن وتعطى دالة الخسارة المعدلة بالصيغة الآتية:

$$V_t(\square) = \sum_{i=1}^t \lambda^{t-i} e^2(i) \quad \dots \quad (23)$$

$$= \sum_{i=1}^t \lambda^{t-i} (y(i) - \varphi^T \theta)^2 \quad \dots \quad (24)$$

حيث تستخدم دالة الخسارة في وقت سابق على ان ($\lambda = 1$) ولكن في هذا النهج سوف يتم استخدام عامل تغاضي والتي تكون فيه قيمة λ عدداً موجباً اقل من الواحد ($1 < \lambda < 0.99$) اي يقع بين (0.95 - 0.99) ويعطي عامل التغاضي اهمية نسبية للبيانات الحالية عن البيانات القديمة وهذا يعني ان زيادة في (t) يعمل على خصم (Discounted) او اسقاط البيانات التي تم الحصول عليها مسبقاً .

وباعادة اشتقاق خوارزمية المربعات الصغرى التكرارية لدالة الخسارة المقدمة في المعادلة (23) يعطي الآتي:-

$$\hat{\theta}(t) = \hat{\theta}(t-1) + K(t) e(t) \quad \dots \quad (25a)$$

$$e(t) = y(t) - \varphi^T(t) \hat{\theta}(t-1) \quad \dots \quad (25b)$$

$$K(t) = P(t) \varphi(t)$$



$$= \frac{P(t-1) \varphi(t)}{[\lambda I + \varphi^T(t) P(t-1) \varphi(t)]} \quad \dots (25c)$$

$$P(t) = \frac{P(t-1) - P(t-1) \varphi(t) \varphi^T(t) P(t-1)}{[\lambda I + \varphi^T(t) P(t-1) \varphi(t)]} \quad \dots (25d)$$

2- طريقة الانحدار الخطى الزائف التكرارية (RPLR) [12]
method

وهي احدي الطرائق المستخدمة في تقدير معالم انموذج ARMAX والذي يكتب بالصورة الآتية:

$$A(q^{-1}) y(t) = B(q^{-1}) u(t) + C(q^{-1}) e(t) \quad \dots (26)$$

ويمكن اعادة كتابته بصيغة الانحدار الخطى الزائف.

$$y(t) = \varphi^T(t) \square + e(t) \quad \dots (27a)$$

$$\varphi^T(t) = (-y(t-1) \dots -y(t-n) \quad u(t-1) \dots u(t-n) \quad e(t-1) \dots e(t-n))^T \quad \dots (27b)$$

$$\square = (a_1 \dots a_n \quad b_1 \dots b_n \quad c_1 \dots c_n)^T \quad \dots (27c)$$

حيث ان مصطلح الضوابط ($y(t-1), \dots, e(t-n)$) غير معروف لذلك يمكن ابداله بتقديرات خطأ التنبؤ ويمكن تلخيص الطريقة في الخوارزمية الآتية:

$$\hat{\theta}(t) = \hat{\theta}(t-1) + K(t) \varepsilon(t)$$

$$e(t) = y(t) - \varphi^T(t) \hat{\theta}(t-1)$$

$$K(t) = P(t) \varphi(t) = P(t-1) \varphi(t) / [1 + \varphi^T(t) P(t-1) \varphi(t)] \quad \dots (28)$$

$$P(t) = P(t-1) - P(t-1) \varphi(t) \varphi^T(t) P(t-1) / [1 + \varphi^T(t) P(t-1) \varphi(t)]$$

$$\varphi^T(t) = (-y(t-1) \dots -y(t-n) \quad u(t-1) \dots u(t-n) \quad e(t-1) \dots e(t-n))^T$$

٤ - مقاييس المقارنة :

١- مقياس متوسط مطلق الخطأ (MAE) : [7]
ويكتب على وفق الصيغة الآتية:

$$MAE = \frac{1}{n} \sum_{t=1}^n |(\hat{\varphi}_t - \varphi)| \quad \dots (29)$$

اذا ان

φ تمثل القيمة الحقيقية

$\hat{\varphi}$ تمثل القيمة التقديرية

n تمثل حجم العينة

حيث ان افضل مقدر الذي يقابل اقل قيمة ل MAE

٢- مقياس الجذر التربيعي لمتوسط مربعات الخطأ (RMSE) : [7]
ويكتب وفق الصيغة التالية

$$RMSE = \sqrt{\frac{1}{n} \sum_{t=1}^n (\hat{\varphi}_t - \varphi)^2} \quad \dots (30)$$



φ = تمثل القيمة الحقيقية
 $\hat{\varphi}$ = تمثل القيمة التقديرية

n = تمثل حجم العينة

حيث ان افضل مقدر الذي يقابل اقل قيمة لـ RMSE
 ٣- مقياس متوسط مطلق الخطأ النسبي (MAPE) : $^{[6]} [3]$ (MAPE) Error

ويكتب وفق الصيغة التالية

$$\text{MAPE} = \frac{\sum_{i=1}^n \left| \frac{\hat{\varphi}_i - \varphi}{\varphi} \right|}{n} \quad (31)$$

اذا ان

φ = تمثل القيمة الحقيقة

$\hat{\varphi}$ = تمثل القيمة التقديرية

n = تمثل حجم العينة

حيث ان افضل مقدر الذي يقابل اقل قيمة لـ MAPE : $^{[4]}$ (forecasting)

بعد تحديد معلمات انموذج ARMAX (na, nb, nc) عن طريق طرائق التقدير التي تم التكلم عنها سابقاً ، حيث ان شكل النموذج يعطى بالصيغة الآتية:

$$y(t) + a_1y(t-1) + \dots + a_ny(t-n_a) = b_1u(t-1) + \dots + b_nbu(t-n_b) + \dots + c_1e(t-1) + \dots + c_nce(t-n_c) \quad (32)$$

نصل الى عملية التنبؤ بالفترات القادمة .

التنبؤ عن الاخطاء في المستقبل يمكن الحصول عليها من خلال التوقعات الشرطية التي تعطي بالصورة الآتية :

$$\hat{Y}_t(k) = E_t \left[- \left(\sum_{i=1}^{na} a_i y_{t+k-i} \right) + \left(\sum_{j=1}^{nb} b_j e_{t+k-j} \right) + \left(\sum_{r=1}^{nc} c_r e_{t+k-r} \right) \right] \dots \quad (33)$$

المتنبئ للمخرج في الزمن (t) يمكن ان يقدر من انموذج ARMAX في الزمن ($t-i$) لعدد من الخطوات الى الامام وبحسب المعادلة (33) والتي تخضع للشروط الآتية:

$$\begin{aligned} [y_{t+j}] &= E_t(y_{t+j}) = y_{t+j} & j = 0, 1, 2, \dots \\ [y_{t+j}] &= E_t(y_{t+j}) = \hat{Y}_t(j) & j = 1, 2, \dots \end{aligned} \quad \dots (34)$$

$$[e_{t+j}] = E_t(e_{t+j}) = 0 \quad j = 0, 1, 2, \dots$$

حيث ان $y_t = y(t)$ ، E_t بدل على التوقع الشرطي في الوقت (t) و $(j)_t$ تدل على التنبؤ ب(y) ل(j) من الخطوات الى الامام ومن هنا التنبؤ بخطوة واحدة الى الامام في الوقت (t) يمكن ان تقدم بالمعادلة الآتية:

$$y(t) - \dots - a_n y(t-n_a+1) + b_1 u(t) + \dots + b_n u(t-n_b+1) + -a = t(t+1) \hat{y} = t(1) \hat{y} \\ c_1 e(t) + \dots + c_n e(t-n_c+1) \quad \dots (35)$$



٤ - الجانب التطبيقي :

٤-١ المقدمة : (introduction)

يتم في هذا البحث تطبيق خطوات بناء انموذج (ARMAX) التي سبق وان تم شرحها في الجانب النظري لتمثيل متغير السلسلة الزمنية والذي يتتألف من متغيران ، المتغير الاول الذي يمثل درجات الحرارة العظمى اليومية لمدينة بغداد والذي يرمز لها بالحرف (y) كسلسلة مخرجات والمتغير الثاني والذي يمثل سرعة الرياح اليومية لمدينة بغداد والذي يرمز له بالحرف (u) كسلسلة مدخلات .

٢ - ٤ تشخيص رتبة الانموذج :

وذلك باستعمال المعايير نفسها التي تم توضيحها مسبقاً وهي (AIC ، FPE) ومن خلال كتابة برنامج بلغة (MATLAB 2013) تمت من قبل الباحث توصلنا الى ان هذه المعايير اعطت الرتبة نفسها كما في الجدول الآتي:

جدول رقم (١) يبين رتبة الانموذج

الرتبة (order)	
n_a	4
n_b	3
n_c	4

القيم التقديرية											
طرق التقدير	a_1	a_2	a_3	a_4	b_1	b_2	b_3	c_1	c_2	c_3	c_4
RLS - F	-1.5994	0.2296	0.0643	0.2924	0.0066	-0.0061	-0.0042	-0.3656	-0.1355	-0.2856	0.0788
RPLR	0.0628	-0.1018	-0.3447	-0.591	0.0049	-0.0006	0.0046	1.0523	1.0508	0.6308	-0.0798
n_k											1

وقد قابلت هذه الرتبة اصغر قيمة لكل معيار وكما في الجدول الآتي :

جدول رقم (٢) يبين قيمة معايير تشخيص الانموذج

ت	المعايير	القيمة
1	FPE	1.6959
2	AIC	0.5618

ويتم استعراض نتائج تدريب معلمات الانموذج وفق الجدول الآتي .

جدول رقم (٣) يبين نتائج القيم التقديرية لمعلمات الانموذج وبحسب طرائق المستخدمة

٣ - مقاييس المقارنة :

ومن خلال المعادلات (29) (30) (31) التي تم ذكرها في الجانب النظري تم حساب مقاييس المقارنة للطرق المستخدمة وكانت النتائج كما في الجدول الآتي :

جدول رقم (٤) يبين نتائج طرائق مقارنة طرائق التقدير

طرق المقارنة			
طرق التقدير	RMSE	MAE	MAPE
RLS - F	1.9977	1.6254	0.0396
RPLR	1.8337	1.5499	0.0377

حيث يبدو واضحاً من الجدول رقم (٤) واستناداً الى الجذر التربيعي لمتوسط مربعات الخطأ (RMSE) و متوسط مطلق الخطأ النسبي (MAPE) و متوسط مطلق الخطأ (MAE) ان طريقة (RPLR) جاءت في المرتبة الاولى كافضل طريقة و طريقة (RLS - F) جاءت في المرتبة الثانية .

٤ - ٤ التنبيه :

وبعد اكمال عملية بناء الانموذج يتم التنبؤ لثلاثين قيمة مستقبلية للمتغير (t) y وباستخدام طريقة (RPLR) كما في الجداول الآتي .



التنبؤ بقيم السلالسل الزمنية بأسعمال أنموذج [ARMAX] مع تطبيق عللي

جدول رقم (5) يبين القيم التنبؤية للمتغير (y) الذي يمثل درجات الحرارة العظمى اليومية باستخدام طريقة (RPLR)

t	t	y
1	83	46
2	84	46
3	85	45
4	86	45
5	87	45
6	88	44
7	89	44
8	90	44
9	91	43
10	92	43
11	93	43
12	94	42
13	95	42
14	96	42
15	97	41
16	98	41
17	99	41
18	100	41
19	101	40
20	102	40
21	103	40
22	104	40
23	105	39
24	106	39
25	107	39
26	108	38
27	109	38
28	110	38
29	111	38
30	112	37

5 - الاستنتاجات والتوصيات :

Conclusions :

- ١- تم استخدام معيارين لتشخيص افضل رتبة صحيحة للانموذج (AIC, FPE) والتي اتفقت على الرتبة نفسها للانموذج ARMAX لتمثيل البيانات المدروسة .
- ٢- تفوقت طريقة RPLR والتي جاءت في المرتبة الاولى على طريقة F - RLS والتي جاءت في المرتبة الثانية من خلال استخدام مقاييس المقارنة والمتضمنة بـ (RMSE , MAPE , MAE) وفقاً للبيانات المدروسة .
- ٣- اعطي انموذج ARMAX(4,3,4,1) افضل نتائج للتنبؤ بدرجات الحرارة العظمى لمدينة بغداد وكانت النتائج مقاربة للنتائج الاصلية .

Recommendations :

- ١- نوصي بدراسة انموذج (ARMAX) في حالة البيانات الموسمية .
- ٢- نوصي بدراسة انموذج (ARMAX) عندما يتكون من عدة مدخلات من المتغيرات الخارجية وبمخرج واحد (MISO).
- ٣- نوصي بمقارنة انموذج (ARMAX) مع بقية نماذج الصندوق الاسود التي تم دراستها .
- ٤- دراسة انموذج (ARMAX) في حالة كون توزيع الخطأ لايخضع للتوزيع الطبيعي .



المصادر :

- 1 - ظافر رمضان مطر & هيام عبد المجيد حياوي (2011) م ، " التشخيص المتعاقب في النظم الحركية الخطية التصادفية : دراسة محاكاة " ، المجلة العراقية للعلوم الاحصائية ص ص. [54 – 21].
- 2 – Ayalew Salie & Babu M.chitti & Rao L. M. Mohana (2012) م ، " Comparison of New Approach Criteria for Estimating the Order of Autoregressive Process " , journal homepage : www.iosrjournals.org , IOSR Journal of Mathematics , PP. [10 – 20].
- 3 – Caihong Li & Wenheng Sun (2012) م ، " The Study on Electricity Price Forecasting Method based on Time Series ARMAX Model and Chaotic Particle Swarm Optimization " , International Journal of Advancements in Computing Technology(IJACT) , Volume4, PP. [198 – 205].
- 4 - Chi-man & Jacob (2008) م ، " statsistical modelling and Forecasting Schemes for Air-Conditioning System " , Pao Yue-Kong library , the Hong kong Polytechnic Univeristy , Hong Hom , Kowloon , Heng Kong .
- 5 – Gautam Bijaya (2010) م ، " SPECTRAL ESTIMATION OF ELECTROENCEPHALOGRAM SIGNAL USING ARMAX MODEL AND PARTICLE SWARM OPTIMIZATION " , The Faculty of College of Graduate Studies Lamar University .
- 6 – J. Hyndman Rob & B. Koehler Anne (2006) م ، " Another look at measures of forecast accuracy " , elsevier International Journal of Forecasting 22 , PP. [679 – 688].
- 7 – J. Willmott Cort & Matsuura Kenji (2005) م ، " Advantages of the mean absolute error (MAE) over the root mean square error (RMSE) in assessing average model performance " , CLIMATE RESEARCH Clim Res , Vol. 30 , PP. [79 – 82].
- 8 - Ljung Lennart (1999) م " System Identification : Theory for the User 2 edition " , Linkoping University sweden , Prentice Hall International .
- 9 – Mantalos P. & Mattheou K, & Karagrigoriou A. (2008) م ، " Using the Divergence Information Criterion for the Determination of the Order of an Autoregressive Process " , Panagiotis.Mantalos@stat.lu.se, University of Lund Sweden and University of Cyprus Cyprus .
- 10 – Nakamura Tomomichi & Judd Kevin & Mees Alistair & Small Michael (2006) م ، " A COMPARATIVE STUDY OF INFORMATION CRITERIA FOR MODEL SELECTION " , International Journal of Bifurcation and Chaos, Vol. 16, No. 8 , PP. [2153–2175] .
- 11 – Nelles Oliver (2001) م ، " Nonlinear System Identification " , springer – verlag 1st edition .
- 12 – Soderstrom Torsten & Stoica Peter (2001) م ، " System Identification" , Prentice Hall International .



Predict the values of the time series using the (ARMAX) model with practical application

Abstract :

Researchers have great interest in studying the black box models this thesis has been focused in the study one of the black box models , a ARMAX model which is one of the important models and can be accessed through a number of special cases which models (AR , MA , ARMA, ARX) , which combines method of the time series that depend on historical data and regression method as explanatory variables addition to that past errors , ARMAX model importance has appeared in many areas of application that direct contact with our daily lives , it consists of constructing ARMAX model several traditional stages of the process , a identification As it was used Final prediction error (FPE) , Akaiki Information Criterion (AIC) and estimate As it was used Recursive least square with Forgetting Factor (RLS – F) and Recursive pseudolinear regression method (RPLR) which come in the first place and (RLS – F) which come in the second place and finally come prediction for (30) value of the daily maximum temperature depending on the daily wind speed .

Keywords : ARMAX , Criteria , Parametez Estimation , MAE , RMSE , MAPE , Forecasting